

APÉNDICE

Figura A. (a) Ubicación geográfica del área de estudio dentro de las sierras de Córdoba, Argentina; (b) ubicación de los 28 sitios en Google Earth® en el área de 50ha, se divide con naranja los distintos potreros y se destacan con colores los tipos fisonómicos en los que se clasificaron visualmente los sitios: verde para bosque; azul para matorral; rojo para pajonal; celeste para césped; amarillo para helechal; gris para pedregal; (c) distribución de sitios en cada uno de los tres potreros con distinta carga ganadera considerando la fisonomía que los caracteriza. Se destaca en paréntesis el porcentaje de cobertura de cada fisonomía en el área cubierta de cada potrero por los 28 sitios (datos obtenidos sobre la base del mapa de Cingolani et al. 2004, imágenes actuales del Google Earth® y recorridos de campo). En el caso de los afloramientos rocosos, si bien éstos no fueron evaluados en este trabajo son una cobertura importante del sistema, por lo tanto reportamos su cobertura en el área de estudio.

Figura A. (a) Geographical position of the study area in Córdoba mountains, Argentina; (b) Geographical position of the 28 sites at Google Earth® in a 50ha area, lines in orange divide different paddocks, pins with different colors show physognomic types in which sites were visually classified: green for woodland; blue for shrubland; red for tussock grassland; light blue for lawn; yellow for fernland; grey for stoneland; (c) distribution of the 28 sites in each of the three paddocks with different livestock load considering the physiognomy that characterizes them (data obtained from vegetation map in Cingolani et al. 2004, actual images from Google Earth® and field rounds. The percentage of cover of each physiognomy in the covered area of each paddock is shown in brackets. Rocky outcrops were not considered in this work but they are shown given they represent an important cover in the study area.

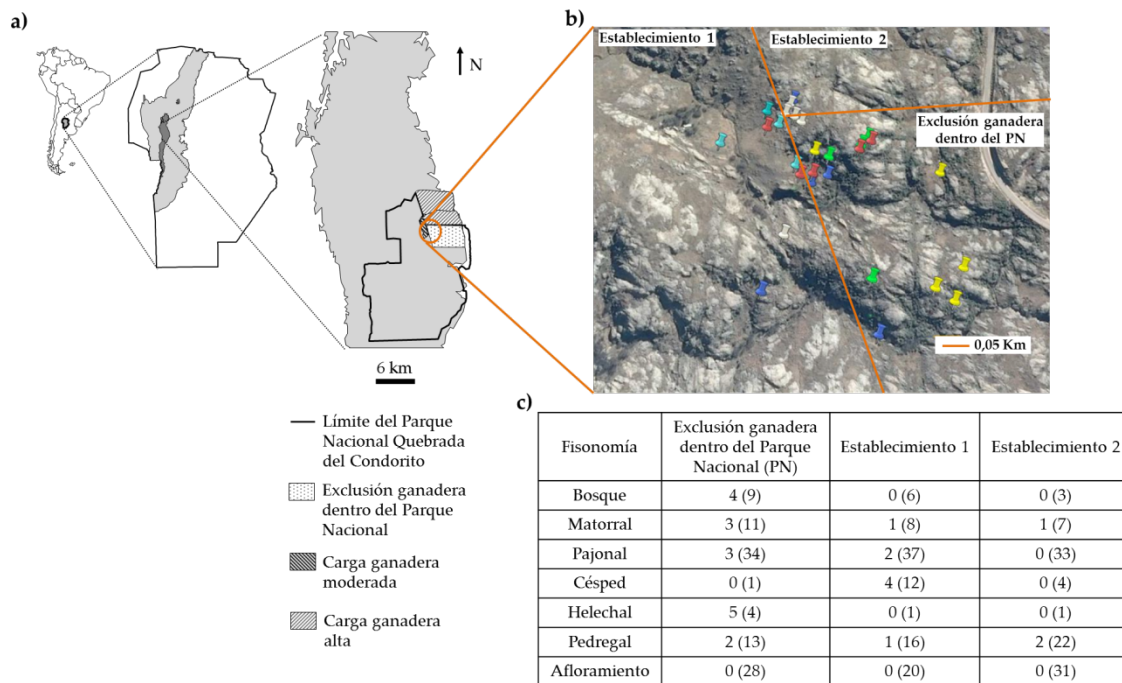


Tabla A. Coeficientes de correlación de Pearson de las variables topográficas con las de vegetación y suelo más relevantes seleccionadas a partir de los análisis de componentes principales para los 28 sitios de estudio.

Table A. Pearson correlation coefficients among topographic variables and vegetation and soil variables selected from the principal component analysis for the 28 sites.

| | Altitud (m s.n.m.) | Índice de insolación anual |
|---|--------------------|----------------------------|
| Índice de estructura de la vegetación | $r=-0.17; P=0.40$ | $r=0.07; P=0.72$ |
| Índice de área foliar | $r=-0.20; P=0.30$ | $r=0.10; P=0.60$ |
| Densidad de raíces (g/cm ³) | $r=-0.34; P=0.08$ | $r=-0.45; P=0.02$ |
| Densidad aparente (g/cm ³) | $r=0.37; P=0.05$ | $r=0.20; P=0.30$ |
| Materia orgánica (%) | $r=-0.05; P=0.81$ | $r=0.05; P=0.82$ |
| Capacidad de campo (%) | $r=-0.29; P=0.14$ | $r=-0.11; P=0.59$ |
| Arena (%) | $r=0.07; P=0.72$ | $r=0.13; P=0.51$ |
| Limo (%) | $r=0.03; P=0.89$ | $r=-0.10; P=0.60$ |